

## Phenol性 化合物의 $^{13}\text{C}$ —核磁氣 共鳴(I)

Phenol性 化合物의 Chemical Shift에 關한 研究

安丙俊

西獨 Bonn大學校 藥學大學

$^{13}\text{C}$ —Nuclear Magnetic Resonance of the Phenolic Compounds (I)

A Systematic Evaluation of the Chemical Shifts of the Phenolic Compounds

Byung-Zun AHN

Pharmazeutisches Institut der Universität Bonn, Bonn, West Germany

$^{13}\text{C}$ —NMR behaviors of phenolic compounds such as phenol, catechol, pyrogallol, resorcine, phoroglucine and hydroquinone were studied. From the study on the effects of OH-substitution on benzene and its derivatives it was found that the additivity rule can be applied to the ortho-and para-effect but not to the meta-effect for the OH-function. The empirically calculated chemical shifts regarding the *o*-and *p*-effects coincide very well with the results of measurement. The chemical shifts of the phenolic compounds can be classified into three types.

1) Catechol-type

- C—1 and C—2 145 ppm  
C—3 and C—6 116—107 ppm  
3) Resorcin-type  
C—1 and C—3 159ppm  
C—2 103—95ppm  
C—4 and C—6 107ppm

2) Pyrogallol-type

- C—1 132ppm  
C—2 and C—6 146ppm  
C—3 and C—5 106ppm

最近 flavon에 關한  $^{13}\text{C}$ —核磁氣共鳴의 研究<sup>1)</sup> 외 數篇의 報文<sup>2,3)</sup>들이 報告되고 있으나 phenol의  $^{13}\text{C}$ —核磁氣共鳴에 關한 系統的 研究에 對해서는 아직 文獻上에 報告된 바 없다. 따라서 著者は 單純 phenol性 化合物로부터  $^{13}\text{C}$ —核磁氣共鳴에 關한 data를 얻어 이를 系統的으로 分析함으로써 phenol特有의 規則性을 發見하고 이를 더 옥複雜한 天然 phenol性 化合物의 構造決定에 應用할 수 있다면 意義 있는 일로 思料되어 本研究에 着手하였다.

LAUTERBUR<sup>4)</sup>는 methoxy基 및 methyl基를 ben-

zene核에 導入하고 이로 인하여 變化되는 benzene炭素의 chemical shift를 觀察한 結果 methoxy基의 導入으로 야기되는 meta-및 para-炭素의 chemical shift의 增分은 additivity rule에 따른다고 示唆한바 있다.

著者は 우선 本報에서 複雜한 天然 phenol性 化合物의 基本體를 이루는 몇 가지 化合物에 對하여  $^{13}\text{C}$ —核磁氣共鳴 現象을 觀察分析 하였다.

### Benzene核에 對한 Hydroxyl基의 影響

n-electron의 共鳴만으로는 설명되지 않으며 6-electron을 通한 inductive effect도 같이 고려

되어야 하며 이에대한妥當性은量子力學的計算으로 얻은數值와 spectrum에서 얻은實驗值得比較하여 보면 쉽게認定될 수 있다.

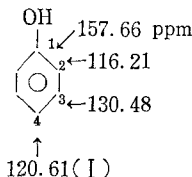
Table I에는 hydroxyl基의 benzene炭素에對

한影響과 CNDO/2<sup>5)</sup>方法에依한計算值得比較하였다. Hydroxyl基의影響은 phenol炭素의 chemical shift로부터 benzene의 chemical shift를 뺀 increment<sup>6)</sup>로表示하였다.

Table I. Effects of Hydroxyl Radical on the Chemical Shifts.

Effects of OH	Chemical Shifts of Phenolic $-^{13}\text{C}$ (ppm)	Chemical Shifts of Benzene $-^{13}\text{C}$ (ppm)	Additivity (ppm)	CNDO-value
4-Effect*	157.66	128.50	+29.16	+176
o-Effect	116.21	128.50	-12.34	-55
m-Effect	130.48	128.50	+1.98	+31
p-Effect	120.61	128.50	-7.89	-14

\*  $\triangle$ 는 酸素와直接結合되는炭素의 increment.



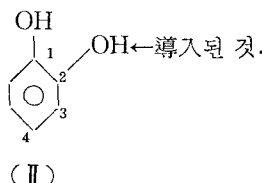
CNDO/2方法에依한計算值得 total charge density로써表示되었다.

Table I에依하면 hydroxyl基의影響即 4-, o-, p-, m-effect와 CNDO/2—計算值得比較的納得이 갈만한一致를 보이고 있다.

위의結果를高價phenol에適用하여 보면 다

Catechol의

- |      |   |
|------|---|
| 1番炭素 | 157.66(phenol 1番炭素)-12.34(o-effect)=145.32ppm(測定值 145.58 ppm) |
| 3番炭素 | 130.48(phenol 3番炭素)-12.34(o-effect)=118.14ppm(測定值 116.11 ppm) |
| 4番炭素 | 120.61(phenol 4番炭素)+1.98(m-effect)=122.59ppm(測定值 119.94 ppm)  |



(II)

위에서 보는바와같이

o-effect에 있어서는測定值와計算值得가 매우 잘符合됨을 알수 있으나反面 m-effect의算出에 있어서는 phenol(I)의4番炭素 및 catechol(II)의4番炭素의測定值 120.61 및 119.94ppm보다높은數值得를 나타냄으로써additivity rule의適用이適合치 못함을 알수 있다.

Phenol(I)의5番炭素에導入된hydroxyl基의p-effect를보면 130.48(I의5番炭素)-7.89

음과같다.

### 1) Catechol (I)

catechol은 phenol(I)의ortho-position에또하나의hydroxyl基를導入한分子로써그의phenol에對한影響을 다음과같이算出하고測定值得比較하였다.

(p-effect)=122.87ppm으로이는(II)의5番炭素(대칭관계로4番炭素와같음)의測定值와符合되는範圍내에있다고볼수있다.

### 2) Pyrogallol (III)

pyrogallol은catechol에또하나의hydroxyl基가導入된分子로,導入된hydroxyl基의catechol炭素에對한影響을計算하여보면다음과같다.

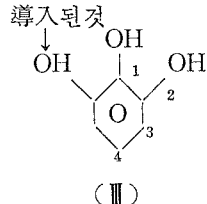
Pyrogallol의

1番炭素  $145.58(\text{II의 } 1\text{番炭素}) - 12.34(o\text{-effect}) = 133.24$ (測定值 132.66ppm)

2番炭素  $145.58(\text{II의 } 2\text{番炭素}) + 1.92(m\text{-effect}) = 147.56$ (測定值 145.05ppm)

3番炭素  $116.11(\text{II의 } 3\text{番炭素}) - 7.89(p\text{-effect}) = 108.22$ (測定值 106.88 " )

4番炭素  $119.94(\text{II의 } 4\text{番炭素}) + 1.98(m\text{-effect}) = 121.92$ (測定值 118.44ppm)



이 物質의 境遇도  $o$ -,  $p$ -effect는 理論值와 測定值가 잘 符合되나  $m$ -effect는 그렇지 못하다.

(III)의 1番炭素은 phenol(I)로 부터 算出할 경우  $157.66(\text{I의 } 1\text{番炭素}) - 12.34 - 12.34 = 132.98$ 이다.

이경우는 phenol의 1番炭素가 ortho 位置에 있는 두개의 hydroxyl基로부터의 影響을 고려하여

Resorcin의

1番炭素  $157.66(\text{I의 } 1\text{番炭素}) + 1.98(m\text{-effect}) = 159.64$ ppm

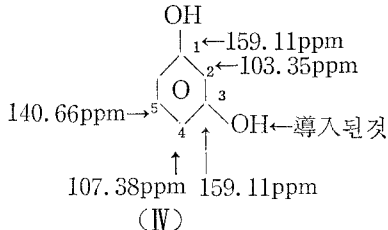
2番炭素  $116.21(\text{I의 } 2\text{番炭素}) - 12.34(o\text{-effect}) = 103.87$ ppm

3番炭素  $130.48(\text{I의 } 3\text{番炭素}) + 29.16(A\text{-effect}) = 159.64$ ppm

4番炭素  $120.61(\text{I의 } 4\text{番炭素}) - 12.34(o\text{-effect}) = 108.27$ ppm

6番炭素  $116.21(\text{I의 } 6\text{番炭素}) - 7.89(p\text{-effect}) = 108.32$ ppm

測定值는 (IV)의 構造式에 表示하였다.



IV의  $A$ -,  $m$ -,  $o$ -,  $p$ -effect는 計算值와 测定值가 모두 잘 符合됨을 알 수 있다. (II), (III)의 境遇에 있어서와 달리 IV의 境遇에 있어서는  $m$ -effect도 잘 符合된다는 事實은 注目할 만한 點으로 (II)와 (III)의 境遇에 있어서의  $m$ -effect가 實際에 잘 符合되지 않는 것은 ortho 位置에

Phloroglucin의

1番炭素  $159.11(\text{IV의 } 1\text{番炭素}) + 1.98(m\text{-effect}) = 161.09$ ppm(測定值 158.86ppm)

2番炭素  $103.35(\text{IV의 } 2\text{番炭素}) - 7.89(p\text{-effect}) = 95.46$ ppm(測定值 94.85ppm)

4番炭素  $107.38(\text{IV의 } 4\text{番炭素}) - 12.34(o\text{-effect}) = 95.08$ ppm(測定值 94.85ppm)

야 한다.

3) Resorcin(IV)

(IV)는 hydroxyl基의 置換狀態로보아 (II) 및 (III)과는 다른 系統으로 (I)의 meta位置에 하나의 hydroxyl基를 導入한 物質이다. 이에 對한 影響을 計算해 보면

야 한다.

3) Resorcin(IV)

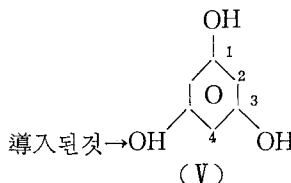
(IV)는 hydroxyl基의 置換狀態로보아 (II) 및

(III)과는 다른 系統으로 (I)의 meta位置에 하

나의 hydroxyl基를 導入한 物質이다. 이에 對한

影響을 計算해 보면

야 한다.



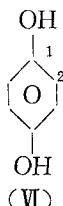
(VII)의 *o*-및 *p*-Effect는 計算值와 測定值가 잘 符合되나 *m*-effect는 잘 맞지 않는다.

### 5) Hydroquinon (VII)

Hydroquinon의

1番炭素  $157.66$ (I의 1番炭素) -  $7.89$ (*p*-effect) =  $149.77$ ppm(測定值  $150.66$ ppm)

2番炭素  $116.21$ (I의 2番炭素) +  $1.98$ (*m*-effect) =  $118.19$ ppm(測定值  $116.64$ ppm)



以上을 綜合해 볼 때 benzene核에 對한 hydroxyl基의 *o*- 및 *p*-effect에 있어서는 additivity rule이 適用되며 *m*-effect에 있어서는 이法則이 有効하지 않음을 알 수 있다. 이 點에서 hydroxyl基의 影響은 methoxy基의 影響과 다르다.

다음 計算에서 보는 바와 같이 hydroquinon의 *p*-effect는 測定值와 잘 符合되나 *m*-effect는 그 렇지 않다.

Catechol型		
1番炭素	145ppm	
2番炭素		
3番炭素	116 - 107ppm	
6番炭素		

Pyrogallol型		
1番炭素	132ppm	
2番炭素		
6番炭素	145ppm	
3番炭素		
5番炭素	106ppm	

Resorcin型		
1番炭素	159ppm	
3番炭素		
2番炭素	103 - 95ppm	
4番炭素		
6番炭素	107ppm	

catechol形의 3番炭素 및 6番炭素 또는 resorcin形의 4番 및 6番炭素와 같이 hydroxyl基에 對하여 ortho位置에 있고 置換되지 않은 炭素들은 거의 같은範圍 即 116 - 106ppm에 나타나고 catechol 및 pyrogallol형에서 보는 바와 같이 ortho位置에 2個의 hydroxyl基로 直接結合된 炭素들(即 catechol形의 1番 및 2番炭素, pyrogallol形의 2 및 6番炭素)은 *o*-effect로 因하여 phenol(I)의 1番炭素에 比해 高磁場쪽인 145ppm部位에 나타나고 resorcin形에 있어서는 phenol(I) 1番炭素보다若干 低磁場 쪽인 158 - 160ppm範圍에 나타남을 볼 수 있다. pyrogallol形의 1番炭素와 같이 2個의 hydroxyl基사이에 있고 酸素와 直接結合된 炭素의 chemical shift는 132ppm部位이며 resorcin

計算值와 測定值를 比較檢討함으로써 高價 phenol의 chemical shift를 確定할 수 있었고 그結果論議된 phenol들을 그 化學的 移動의 程度에 따라 다음과 같이 分類할 수 있다.

形의 2番炭素와 같이 2個의 hydroxyl基 사이에 있고 置換되지 않은 炭素들은 103 ~ 95ppm의 高磁場쪽으로 移動되어 나타남을 알 수 있다.

天然 phenol에 對한 本報에서 얻은 結果의 適用은 第二報에서 論議토록 하겠다.

## 實驗

使用機械 ; CFT-20-Spectrometer(Varian)

操作溫度 ;  $35^{\circ}\text{C}$

物質의 濃度 및 溶媒 ; 1 mole의 Dimethyl sulfoxide- $d_6$ 溶液 2ml

Spectrum의 作成 ; Wide-Band  $^1\text{H}$ -Decoupled

Spectrum 作成條件

Lock Signal: Dimethylsulfoxide- $d_6$

Spin Rate: 20 rps

Reference Line: TMS-81.

Aquisition

(1977.1.15 接受)

Spectral Width: 4.000 Hz

No. of Transients: 1.042

Aquisition Time: 0.511 sec.

Pulse Width: 5 micro-sec.

Pulse delay: 0

Data Points: 4096

Display

Sensitivity Enhancement: 0.5 sec.

Width of Plot: 4.005 Hz.

End of Plot: 0 Hz.

Width of Chart: 4.000 Hz.

Transmitter Offset: 50

High Field: 1

Receiver Gain: 3

Decoupler Mode: 1

Decoupler\_Offset: 50

Noise Band: 1000 kHz.

End of Chart: 0 Hz.

Vertical Scale: 477.

## 문 헌

1. TERNAI, B. and MARKHAM, K.R.: *Tetrahedron*, **32**, 565 (1976).
2. JOSEPH-NATHAN, P., MARES, J., HERNANDEZ, Ma. C., and SCHOOLERY, J.N.: *J. Magnetic Resonance* **16**, 447 (1974).
3. AHN, B.Z. and ZYMALKOWSKI, F.: *Tetrahedron Letters*, **11**, 821 (1976).
4. LAUTERBUR, P.C.: *J. Am. Chem. Soc.* **83**, 1846 (1961).
5. LEVY, G.C., NELSON, G.L. and CARGIOLI, J.D.: *Chem. Commun.* 506 (1971).  
NELSON, G.L., LEVY, G.C. and CARGIOLI, J.D.: *J. Am. Chem. Soc.* **94** (1972).
6. ALGER, T.D., GRANT D.M. and PAUL, E.G.: *Ibid* **88**, 5397 (1966).  
PUGMIRE, R.J., GRANT, D.M., ROBINS, M.J. and ROBINS, R.K.: *J. Am. Chem. Soc.* **91**, 6381 (1969).